

УДК 519.6

МОНОТОННЫЙ МЕТОД ДРОБНЫХ ЧАСТИЦ ДЛЯ ДВУМЕРНЫХ УПРУГОПЛАСТИЧЕСКИХ ТЕЧЕНИЙ

В. А. Шмелёв, И. Е. Чередниченко, Ю. В. Янилкин
(ФГУП "РФЯЦ-ВНИИЭФ", г. Саров Нижегородской области)

Описываются основные алгоритмы двумерного монотонного метода дробных частиц для моделирования упругопластических течений в рамках лагранжево-эйлеровой методики ЭГАК. Данный метод призван решить проблему точности аппроксимации уравнений на этапе конвективного переноса для смешанных ячеек, устранив при этом недостаток классического метода частиц, а именно немонотонность решения, вызванную дискретным переносом из ячейки в ячейку массы и связанных с ней величин. На основе монотонного метода дробных частиц реализованы модель мгновенного разрушения и компактирования и модель Канеля. Первая модель протестирована на задаче об адиабатическом сжатии и растяжении плоского слоя, вторая — на задаче о соударении медных пластин, а также обе модели — на задаче о соударении стальной сферы с композитной преградой. Результаты подтверждают, что реализованный метод позволяет улучшить точность описания процессов упругопластического деформирования и разрушения материалов в рамках механики сплошной среды на неподвижных сетках.

Ключевые слова: упругопластическое течение, модель мгновенного разрушения, хрупкий откол, модель Канеля, мера поврежденности, монотонный метод дробных частиц, численное моделирование.

Введение

Корректный расчет многомерного движения многокомпонентной среды является наиболее серьезной проблемой для лагранжево-эйлеровых и эйлеровых методик, особенно в смешанных ячейках в окрестности контактных границ (КГ). Имеются два основных подхода к решению уравнения адвекции для многокомпонентной среды.

Первый подход основан на выделении КГ и определении их положения на каждом счетном шаге. При этом КГ может либо выделяться явным образом, либо восстанавливаться на каждом счетном шаге по полу концентраций. Последний алгоритмложен в основу методов типа VOF [1] (метода концентраций [2]), получивших широкое распространение.

Второй подход связан с применением методов частиц (PIC-метод), или маркеров [3]. В этом случае потоки веществ из смешанных ячеек определяются частицами, с которыми связываются определенные массы веществ.

Оба подхода имеют свои достоинства и недостатки. Достоинства метода частиц определяются лагранжевым представлением частиц и возможностью "привязки" информации о среде к ним. Это позволяет минимизировать погрешности эйлеровых методов, связанные с решением уравнения адвекции. В настоящее время разработан ряд модификаций метода частиц, повышающих его точность и расширяющих области его применения [4—9]. Обзор этих методов представлен в книге [10].

Основным недостатком метода частиц является сильная немонотонность решения, вызванная дискретным переносом массы и величин, связанных с массой, из ячейки в ячейку. Для минимизации соответствующей погрешности приходится использовать большое количество частиц в ячейках, что ограничивает возможности метода, особенно в трехмерном случае. Для борьбы с этим недостатком предложено несколько подходов. Один из подходов предложен в работах [11, 12], в которых

использованы частицы переменной массы. Другой подход основан на использовании частиц лишь в окрестности КГ [13], при этом в остальной части области используется сеточный метод, что позволяет значительно увеличить количество частиц в ячейке. Однако такое выборочное использование частиц не уменьшает погрешность, связанную с решением уравнения адвекции в других частях области, особенно если необходимо рассчитывать течения, в которых требуется учитывать историю того или иного процесса. Подобные процессы легко решаются лишь в лагранжевых переменных для ячеек, в которых не допускается перетекание вещества. К таким процессам относится и кинетика разрушения материалов.

В методике ЭГАК для двумерного случая был разработан монотонный метод дробных частиц^{*} (МДЧ) [14, 15]. Данный метод свободен от основного недостатка метода частиц, а именно немонотонности решения. Монотонизация метода частиц производится путем дробления частицы на две частицы так, чтобы вытекающий из ячейки объем вещества соответствовал объему, получающемуся при вычислении по сеточным схемам методики ЭГАК [16]. При этом параметры материнской частицы переносятся в дочерние частицы. Чтобы не порождать бесконечную цепочку дробления, в дальнейшем раздробленные частицы вновь объединяются при условии попадания в одну счетную ячейку. В силу этого для МДЧ не требуется большого количества частиц в ячейке, что позволяет его использовать в большом количестве ячеек области.

В настоящей работе МДЧ обобщен для упругопластических течений. Исследована его точность в приложении к процессам разрушения материалов при хрупком отколе [17] и их компактировании, а также разрушения по модели Канеля и др. [18]. Тестирование метода проведено на нескольких задачах.

Процесс упругопластики

Систему дифференциальных уравнений, описывающую двумерные течения многокомпонентной сплошной среды с учетом прочностных свойств материалов, можно записать в следующем виде:

$$\frac{\partial K_x}{\partial t} + \operatorname{div} K_x \mathbf{u} = -\frac{\partial P}{\partial x} + \frac{\partial S_{xx}}{\partial x} + \frac{\partial S_{xy}}{\partial y} + (\alpha - 1) \frac{S_{xy}}{y}, \quad (1)$$

$$\frac{\partial K_y}{\partial t} + \operatorname{div} K_y \mathbf{u} = -\frac{\partial P}{\partial y} + \frac{\partial S_{yy}}{\partial y} + \frac{\partial S_{xy}}{\partial x} + (\alpha - 1) \frac{S_{yy} - S_\varphi}{y}; \quad (2)$$

$$\frac{\partial \rho_\xi}{\partial t} + (\operatorname{div} \rho \mathbf{u})_\xi = 0; \quad (3)$$

$$\frac{\partial \rho_\xi e_\xi}{\partial t} + (\operatorname{div} \rho \mathbf{u})_\xi = -P_\xi (\operatorname{div} \mathbf{u})_\xi + S_{xx\xi} d_{xx} + S_{yy\xi} d_{yy} + S_{\varphi\xi} d_\varphi + 2S_{xy\xi} d_{xy}, \quad (4)$$

где $\mathbf{u} = (u_x, u_y)$ — скорость (OX — ось симметрии); ρ — плотность; P — давление; e — удельная внутренняя энергия; $K_x = \int_V \rho u_x dV$, $K_y = \int_V \rho u_y dV$ — составляющие импульса единицы объема; S_{xx} , S_{yy} , S_{xy} , S_φ — компоненты девиатора тензора напряжений S ; d_{xx} , d_{yy} , d_{xy} , d_φ — компоненты тензора скоростей деформации D ; угол φ задает третье направление в осесимметричном случае; $\alpha = 1$ в случае плоской симметрии, $\alpha = 2$ в случае осевой симметрии; индекс ξ показывает, что величина отнесена к ξ -му компоненту среды.

Система уравнений (1)–(4) замыкается уравнениями состояния (УРСами) компонентов среды

$$P_\xi = P(\rho_\xi, e_\xi) \quad (5)$$

и уравнениями, выражающими зависимость девиаторов тензора напряжений от тензора скоростей деформаций (они определяются принятой моделью среды),

$$f(S_\xi, D_\xi) = 0. \quad (6)$$

^{*}Первоначальное название метода — монотонный метод частиц.

Решение системы уравнений (1)–(6) выполняется с привлечением метода расщепления в два этапа: лагранжева и эйлерова.

На первом (лагранжевом) этапе решаются уравнения (1)–(6) без конвективных членов, т. е. в лагранжевых переменных. Этот этап, в свою очередь, делится на три подэтапа: 1) определение ускорений за счет компонент девиатора тензора напряжений; 2) решение уравнений газодинамики без конвективных членов с учетом ускорений, полученных на первом подэтапе; 3) определение значений компонент девиатора на новый момент времени на лагранжевом этапе и приращений внутренней энергии за счет них. На третьем подэтапе рассчитывается и кинетика разрушений веществ.

На втором (эйлеровом) этапе осуществляется учет конвективного переноса веществ из ячейки в ячейку. При этом в качестве начальных данных используются значения величин, полученные на лагранжевом этапе вычислений. Данный этап разбивается на два подэтапа, аппроксимация уравнений производится с использованием расщепления по направлениям.

Компоненты скорости \mathbf{u} определены в узлах счетной сетки, скалярные величины ($\rho_\xi, e_\xi, P_\xi, S_{xx\xi}, S_{yy\xi}, S_{xy\xi}$) — в центрах ячеек. Кроме того, некоторые вещества могут описываться с помощью частиц, которые характеризуются объемом V_p , номером компонента ξ_p , а также всеми параметрами среды, кроме скорости. Величины, заданные для частицы, отнесены к центру частицы, определяемому его координатами.

Частицы целесообразно задавать в компонентах среды, для которых погрешности, связанные с решением уравнения адвекции, наиболее ощутимы, или в веществах, которые требуют хранения истории поведения лагранжевой частицы. Такая возможность предусмотрена в методике ЭГАК при реализации МДЧ [14, 15]. Ниже дано краткое описание этого метода в приложении к упругопластическим течениям.

Лагранжев этап.

Определение ускорений. Так как у частиц нет индивидуальных скоростей (новые координаты частиц вычисляются билинейной интерполяцией по узлам сетки на этапе лагранжевой газодинамики), этот этап для МДЧ сводится к пересчету напряжений с частиц на ячейки:

$$S_{xx\xi} = \frac{\sum_p S_{xx\xi_p} V_{\xi_p}}{V_\xi}; \quad S_{xy\xi} = \frac{\sum_p S_{xy\xi_p} V_{\xi_p}}{V_\xi}; \quad S_{yy\xi} = \frac{\sum_p S_{yy\xi_p} V_{\xi_p}}{V_\xi},$$

где V_ξ — объем компонента ξ в ячейке.

Далее расчет приращений скорости за счет тензора напряжений осуществляется по стандартной схеме методики ЭГАК (см. [16]).

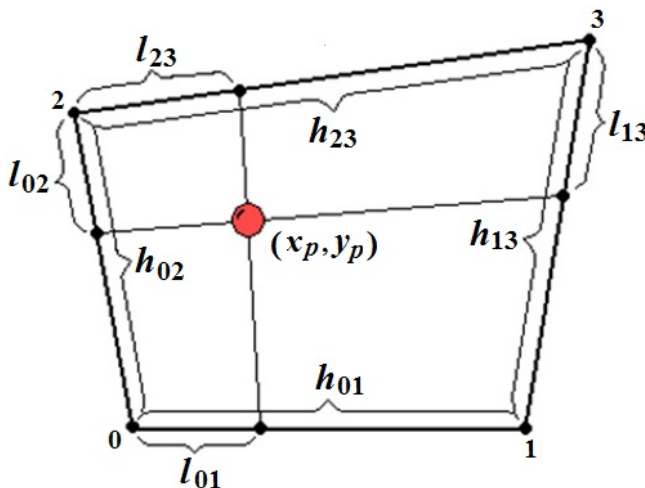


Рис. 1. Определение координат частицы по координатам узлов ячейки

Решение уравнений лагранжевой газодинамики. При наличии упругопластики на данном подэтапе ничего нового по сравнению с описанным в [14, 15] не добавляется. Тем не менее для полноты изложения дадим краткое описание этого подэтапа.

Полагается, что на лагранжевом этапе частицы движутся вместе с ячейкой и внутри ячейки, не выходя за ее границу. Новые координаты частицы определяются билинейной интерполяцией по координатам узлов ячейки в предположении о сохранении положения частицы относительно узлов при деформации ячейки на данном этапе вычислений. Таким образом, требуется, чтобы $\lambda_x^{n+1} = \lambda_x^n, \lambda_y^{n+1} = \lambda_y^n$, где $\lambda_x = \frac{l_{01}}{h_{01}} = \frac{l_{23}}{h_{23}}, \lambda_y = \frac{l_{02}}{h_{02}} = \frac{l_{13}}{h_{13}}$ (рис. 1).

При определении термодинамических величин для частиц полагаем, что относительные приращения плотности и энергии для них равны соответствующим относительным приращениям этих величин, вычисленным для соответствующего компонента в среднем для ячейки. Отсюда следуют формулы

$$\rho_{\xi_p}^{n+1/2} = \rho_{\xi_p}^n + \frac{\rho_{\xi}^{n+1/2} - \rho_{\xi}^n}{\rho_{\xi}^n} \rho_{\xi_p}^n; \quad e_{\xi_p}^{n+1/2} = e_{\xi_p}^n + (e_{\xi}^{n+1/2} - e_{\xi}^n); \quad V_{\xi_p}^{n+1/2} = V_{\xi_p}^n \frac{V_{\xi_p}^{n+1/2}}{V_{\xi}^n}, \quad (7)$$

где индекс $n + 1/2$ означает, что величина получена на лагранжевом этапе вычислений.

При использовании формул (7) суммарные массы частиц не изменяются, а суммарные внутренние энергии частиц равны энергии, рассчитанной для данного компонента в целом.

Определение новых значений компонент девиатора напряжений. На третьем подэтапе сначала по стандартной методике [16] определяются приращения компонент S_{ij} (i и j принимают значения x и y) девиатора напряжений для каждого вещества ξ в рассматриваемой ячейке и удельных внутренних энергий:

$$\delta S_{ij\xi} = S_{ij\xi}^{n+1} - S_{ij\xi}^n; \quad \delta e_{\xi} = e_{\xi}^{n+1} - e_{\xi}^n.$$

Затем производится пересчет полученных при этом величин с ячеек на частицы по следующим формулам:

$$S_{xx\xi_p}^{n+1/2} = S_{xx\xi_p}^n + \delta S_{xx\xi}; \quad S_{xy\xi_p}^{n+1/2} = S_{xy\xi_p}^n + \delta S_{xy\xi}; \quad S_{yy\xi_p}^{n+1/2} = S_{yy\xi_p}^n + \delta S_{yy\xi}; \quad e_{\xi_p}^{n+1/2} = e_{\xi_p}^n + \delta e_{\xi}.$$

На этом этапе рассчитывается также кинетика разрушений веществ в частицах (см. далее). Определяются изменения указанных и дополнительных величин, вводимых для корректного учета разрушения.

Эйлеров этап. Основные трудности при реализации метода частиц связаны с эйлеровым этапом, а именно с расчетом потоков массы из ячейки в ячейку и связанных с ними величин, определенных на единицу массы, в частности внутренней энергии и компонент девиатора напряжений. В классическом методе частиц Харлоу при переходе частицы в соседнюю ячейку все ее параметры "переходят" вместе с ней. В связи с дискретным (и соответственно немонотонным) характером переноса всех величин этому методу свойственна большая немонотонность профилей величин.

В МДЧ используется алгоритм монотонизации классического метода частиц [2]. Рассмотрим идею этого алгоритма в одномерном случае.

На рис. 2 показаны две счетные ячейки, в которых расположены частицы, обозначенные точками. Штриховыми отрезками обозначены воображаемые границы объемов, занимаемых частицами. При вычислениях необходимы лишь численные значения объемов, а их конфигурации не хранятся. Поток вещества направлен слева направо в соответствии с указанной скоростью движения $\mathbf{u} = U_x$. Тогда вытекающий из ячейки слева поток вещества объемом ΔV (далее будем использовать термин *поток объема*, на рис. 2 выделен голубым цветом) равен произведению длины поперечного ребра ячейки L на $u_x \tau$, т. е. $\Delta V = L u_x \tau$.

Причиной немонотонности классического метода частиц является несовпадение реального значения потока объема ΔV с объемом частицы, переходящей через граничное ребро ячейки. В одном случае (см. рис. 2 сверху) из ячейки слева перемещается объем, меньший объема частицы, в другом (см. рис. 2 снизу) — больший объема частицы. Введем обозначение $\delta V = \Delta V - V_p$, где V_p — объем частицы с номером p , переходящей из одной ячейки в другую, и рассмотрим оба этих случая.

Поток объема меньше объема переходящей частицы ($\delta V < 0$). В этом случае частица, перешедшая из донорной ячейки в акцепторную, делится на две части — материнскую и дочернюю. Материнская частица переходит в акцепторную ячейку, приобретая ее координаты (в соответствии с ее скоростью) и объем, равный вытекающему из донорной ячейки объему ΔV . Дочерняя частица получает объем, равный разности объема первоначальной частицы и потока объема ΔV , и

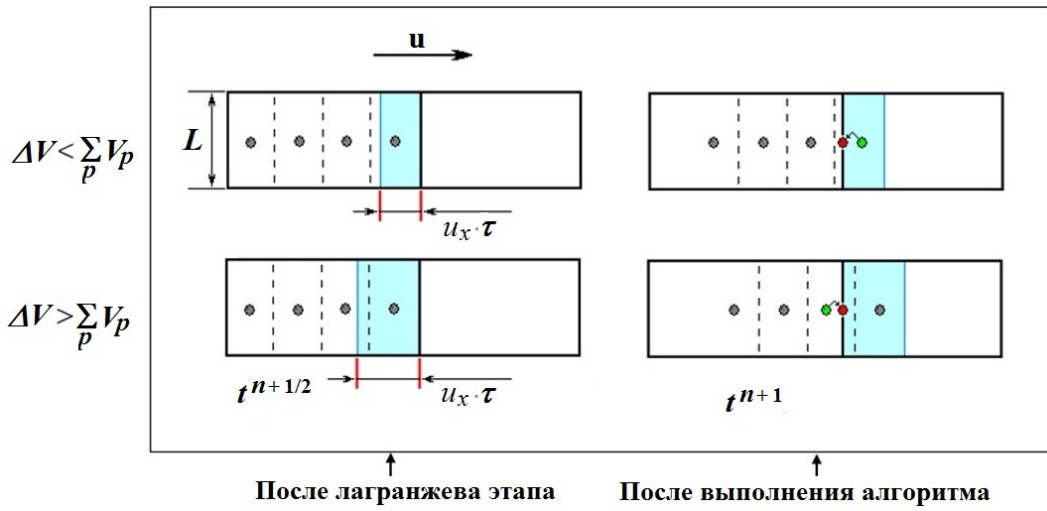


Рис. 2. Иллюстрация к расчету потока в одномерном случае (материнские частицы — зеленые, дочерние — красные)

помещается в донорную ячейку, приобретая координаты на общем ребре донорной и акцепторной ячеек.

Поток объема больше объема переходящей частицы ($\delta V > 0$). В этом случае необходимо восполнить недостаток объема переходящей частицы за счет принудительного перемещения некоторых частиц или фрагментов частиц из донорной ячейки в акцепторную. Таким образом, дробится ближайшая к общему ребру этих ячеек частица из непереходящих в акцепторную ячейку. Она порождает дочернюю частицу с объемом, равным разности объемов δV , которая помещается в акцепторную ячейку с координатами на общем ребре донорной и акцепторной ячеек.

При перемещении из ячейки в ячейку сразу нескольких частиц суммирование объема ведется по всем перешедшим частицам. В этом случае частицы будут делиться по очереди в порядке увеличения расстояния от частицы до смежного ребра.

Особенности реализации метода в многомерном случае приводятся в работах [14, 15].

При дроблении частиц выполняются следующие правила:

- термодинамическое состояние делящейся частицы дублируется в обеих частицах (тем самым обеспечивается выполнение законов сохранения массы, энергии и др.); в случае упругопластики к этим величинам добавляются компоненты девиатора напряжений;
- для дочерней частицы запоминается номер материнской частицы, который одновременно служит признаком наличия у данной частицы материнской;
- у материнской частицы ни признака наличия дочерних частиц, ни их номеров не содержится;
- у одной материнской частицы может быть несколько дочерних частиц;
- у дочерней частицы может быть только одна материнская частица.

Разработана также процедура объединения частиц. Данная процедура необходима для предотвращения бесконтрольного роста количества частиц при их дроблении. Две частицы одного и того же вещества, находящиеся в пределах одной ячейки, подлежат объединению, если выполняется один из следующих критериев:

- одна из частиц является дочерней по отношению к другой;
- две дочерние частицы имеют одну и ту же материнскую частицу;
- одна из частиц имеет относительно малый объем.

При большом количестве частиц в ячейке предусмотрены механизмы объединения частиц, относящихся к одному и тому же веществу, независимо от их типа.

Эйлеров этап завершается пересчетом величин с частиц на содержащие их ячейки, что необходимо для реализации возможности аппроксимации уравнений без применения частиц. Соответствующие формулы имеют следующий вид:

$$\begin{aligned}\rho_{\xi}^{n+1} &= \frac{\sum_p \rho_{\xi_p} V_{\xi_p}}{\sum_p V_{\xi_p}}; & e_{\xi}^{n+1} &= \frac{\sum_p e_{\xi_p} \rho_{\xi_p} V_{\xi_p}}{\sum_p \rho_{\xi_p} V_{\xi_p}}; \\ S_{xx\xi}^{n+1} &= \frac{\sum_p S_{xx\xi_p} V_{\xi_p}}{\sum_p V_{\xi_p}}; & S_{xy\xi}^{n+1} &= \frac{\sum_p S_{xy\xi_p} V_{\xi_p}}{\sum_p V_{\xi_p}}; & S_{yy\xi}^{n+1} &= \frac{\sum_p S_{yy\xi_p} V_{\xi_p}}{\sum_p V_{\xi_p}},\end{aligned}$$

где суммирование ведется по всем частицам компонента ξ в рассматриваемой ячейке.

Две континуальные модели разрушения

Континуальный кинетический подход описывает разрушение как процесс накопления повреждений в элементе вещества. Так как частица представляет собой лагранжев элемент среды, то в ней удобно хранить информацию об истории процессов, в данном случае о поврежденности вещества. В рамках этого подхода ниже рассматриваются две модели разрушения, реализованные в методике ЭГАК.

В рассматриваемом случае мера поврежденности вещества ω определяется по формуле

$$\omega = 1 - \frac{\rho}{\rho_c},$$

где ρ — плотность рассматриваемого вещества; ρ_c — плотность сплошного вещества.

В МДЧ при дроблении частиц мера поврежденности, как и другие параметры материнской частицы, переносится в дочерние частицы. При объединении частиц, естественно, вычисляются новые значения поврежденности вещества, определяемые как средневзвешенные по массе частиц.

Модель мгновенного разрушения и компактирования. В рассматриваемой модели по мере поврежденности ω будем выделять следующие состояния материалов [4]:

- $\omega = 0$ — сплошной материал (сопротивляется сжатию и растяжению);
- $0 < \omega < \omega_{\text{кр}}$ — поврежденный материал (способность сопротивляться сжатию и растяжению снижается);
- $\omega_{\text{кр}} < \omega < \omega_0$ — разрушенный материал (не сопротивляется растяжению);
- $\omega_0 < \omega$ — диспергированный материал (не сопротивляется ни сжатию, ни растяжению).

Здесь $\omega_{\text{кр}}$ — критическое значение меры поврежденности; ω_0 — предельное значение меры поврежденности, ниже которого в разрушенном материале появляется прочность.

В простейшей модели мгновенного откола разрушение происходит, если давление сплошного материала $P_c(\omega)$ меньше отрицательного критического значения $P_{\text{отк}}$

$$P_c(\omega) < -|P_{\text{отк}}|.$$

В разрушенном состоянии давление зануляется, вещество рассчитывается в гидродинамическом приближении, а мера поврежденности ω при заданных плотности ρ и внутренней энергии e определяется из уравнения (см. [16])

$$P_c \left(\frac{\rho}{1 - \omega}, e \right) = 0,$$

где $P_c(\rho_c, e)$ — УРС сплошного вещества.

Если поврежденная среда начинает сжиматься, то происходит компактирование. Мера поврежденности определяется из уравнения (см. [16])

$$\omega = \omega_0 \left(1 - \frac{P}{P_k}\right)^2,$$

где P_k — давление компактирования.

Модель Канеля. Модель Канеля и др. [18] является кинетической. В ней для учета развития микроповреждений вводится уравнение, описывающее изменение удельного объема микротрещин $V_t = \omega/\rho$:

$$\frac{\partial V_t}{\partial t} = \begin{cases} 0 & \text{при } P \geq P_k \frac{V_1}{V_1 + V_t} \text{ или } \left(P < -P_k \frac{V_1}{V_1 + V_t} \text{ и } V_t = 0\right); \\ K_4 \operatorname{sign}(P) \left(|P| - P_k \frac{V_1}{V_1 + V_t}\right) (V_2 + V_t) & \text{при } P < P_k \frac{V_1}{V_1 + V_t} \text{ или } \left(P > -P_k \frac{V_1}{V_1 + V_t} \text{ и } V_t = 0\right), \end{cases}$$

где P — максимальное нормальное напряжение; V_1, V_2, K_4, P_k — константы материала.

Среднее давление в среде определяется как

$$P = P_c \frac{\rho}{\rho_c} = P_c(1 - \omega),$$

где ρ_c — плотность твердого компонента среды.

Модуль сдвига G и динамический предел текучести Y полагаются зависящими от достигнутого уровня повреждений:

$$G = G_0 \frac{V_3}{V_3 + V_t}; \quad Y = \begin{cases} Y_0 \left(1 - \frac{V_t}{V_4}\right), & \text{если } V_t < V_4; \\ 0, & \text{если } V_t \geq V_4, \end{cases}$$

где V_3, V_4 — константы материала. Разрушенные вещества считаются в гидродинамическом приближении.

Уравнения состояния. В данной работе для непористых (неразрушенных) веществ использовался УРС в форме Ми—Грюнайзена:

$$P = \frac{\rho_0 c_0^2}{n} \left[\left(\frac{\rho}{\rho_0} \right)^n - 1 \right] + (\gamma - 1) \rho e, \quad (8)$$

где $\rho_0, c_0, n, \gamma - 1$ — параметры УРСа.

Тестирование метода

Растяжение плоского слоя. Одномерная задача об адиабатическом сжатии и растяжении плоского слоя. В начальный момент времени в одномерной области $0 \leq x \leq L_0$ ($L_0 = 2$ см) задан слой вещества с линейным профилем скорости $U = U_0 x / L_0$, где $U_0 = -1$ км/с. В момент t_1 скорость меняет знак.

Расчеты проведены для трех начальных состояний вещества: 1 — поврежденного, 2 — разрушенного, 3 — диспергированного (табл. 1) с использованием УРСа (8). Параметры модели компактирования приведены в табл. 2.

Вязкость полагалась равной нулю. Расчеты проводились на сетке с шагом $h = 0,05$ см. Задача рассчитывалась в двух постановках: лагранжевой и эйлеровой. Заметим, что в лагранжевых переменных эйлеров этап вычислений отсутствует и соответственно отсутствует погрешность, связанная с этим этапом.

Таблица 1

Растяжение плоского слоя. Параметры расчетов для трех начальных состояний вещества

Номер состояния	ρ , г/см ³	E , кДж/г	ω	$t_1, 10^{-5}$ с
1	17,101	0,003	0,1	0,1
2	15,2	0,003788	0,2	0,25
3	11,98	0,0042	0,3702	0,35

Таблица 2

Растяжение плоского слоя. Параметры УРСа и уравнения компактирования

ρ_0 , г/см ³	c_0 , км/с	n	Γ	ω_{kp}	ω_0	P_k , ГПа
19,05	2,62	4,1	2,2	0,15	0,333	1,5

Для случая лагранжева расчета рассматривался один физический компонент, для эйлерова расчета на правой границе было добавлено несколько ячеек вакуума.

Результаты расчетов в виде зависимостей $\omega(t)$ показаны на рис. 3.

В табл. 3 представлены максимальные относительные отклонения ω от точного решения $|\omega_p - \omega_t|_{\max}/\omega$, где ω_p — расчетное значение, ω_t — точное значение.

Для состояния 3 в эйлеровых переменных были проведены расчеты на сходимость (табл. 4).

Как видно из табл. 3 и рис. 3, расчеты в лагранжевых и эйлеровых переменных с использованием МДЧ дают близкие результаты, имеющие малое отклонение от точного решения при сохранении монотонности решения. Имеется сходимость численного решения к точному при уменьшении шага сетки (см. табл. 4).

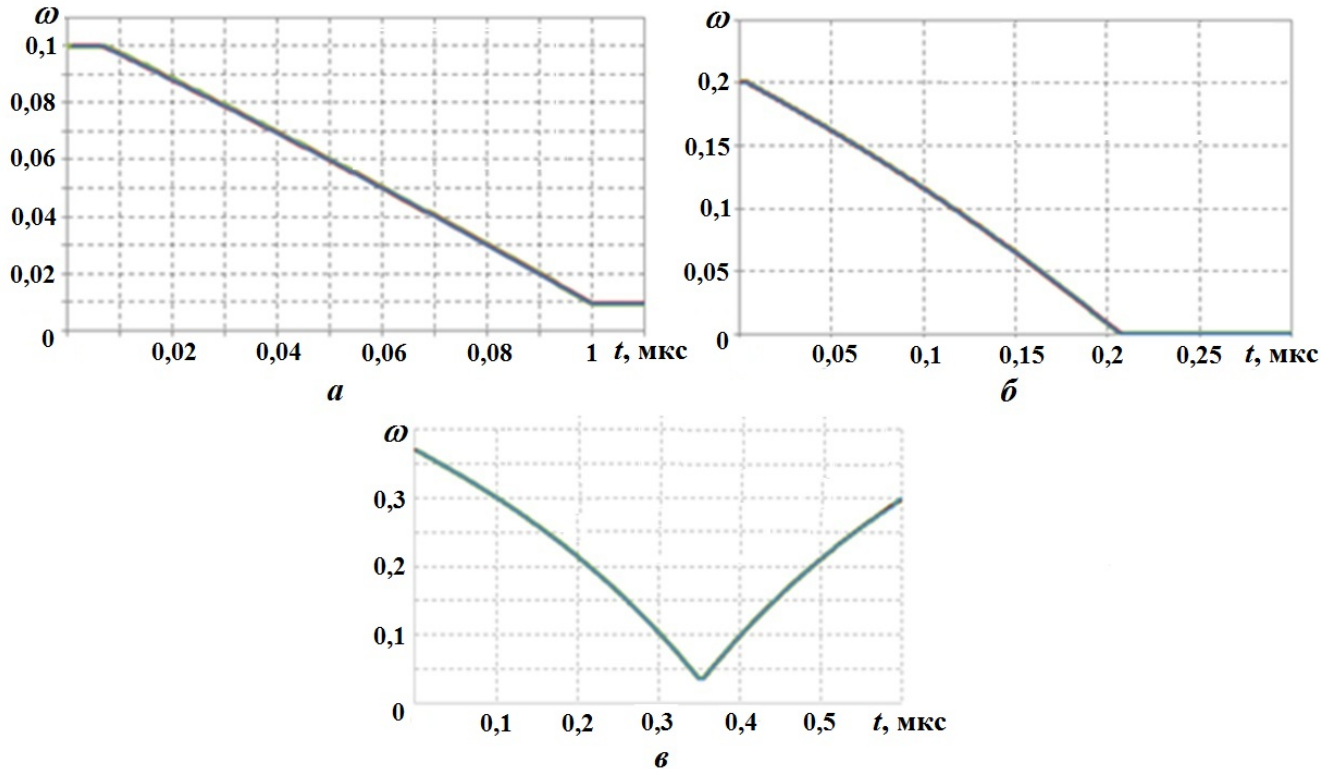


Рис. 3. Растяжение плоского слоя. Расчетные зависимости поврежденности от времени: *a* — для состояния 1; *b* — для состояния 2; *c* — для состояния 3; — точное решение; — лагранжев расчет; — эйлеров расчет

Таблица 3

Растяжение плоского слоя. Максимальные относительные отклонения ω от точного решения

Номер состояния	Лагранжев расчет	Эйлеров расчет
1	$1,43 \cdot 10^{-2}$	$1,43 \cdot 10^{-2}$
2	$1,32 \cdot 10^{-2}$	$1,07 \cdot 10^{-2}$
3	$1,76 \cdot 10^{-3}$	$5,63 \cdot 10^{-3}$

Таблица 4

Растяжение плоского слоя. Максимальные относительные отклонения ω от точного решения в зависимости от шага сетки

h , см	0,05	0,025	0,125
Отклонение ω	$5,63 \cdot 10^{-3}$	$2,28 \cdot 10^{-3}$	$1,87 \cdot 10^{-3}$

Соударение медных пластин. Задача плоская одномерная [19]. В области $0 \leq x \leq 9$ мм размещается медная пластина с нулевой скоростью (мишень). Вторая пластина (ударник), изначально расположенная в области $-2 \leq x \leq 0$, налетает на мишень со скоростью U , которая в расчетах варьируется. За внешними границами пластин $x < -2$ мм и $x > 9$ мм — вакуум.

Расчеты проводились с использованием модели Канеля и др. Для сравнения также был проведен расчет данной задачи без МДЧ по стандартным схемам методики ЭГАК с использованием той же модели [20].

В табл. 5 приводятся константы модели Канеля, УРС (8) использовался с константами $c_0 = 4,6$ км/с; $n = 4$; $\gamma - 1 = 1,66$; $\rho_0 = 8,92$ г/см³ [6].

Счетная сетка — квадратная с шагом $h = 0,01$ см. В расчетах МДЧ на момент времени $t = 0$ бралось по одной частице в ячейке, содержащей разрушающее вещество.

Проведены расчеты со скоростями соударения 300, 500, 1 000 м/с. Зависимости меры поврежденности частиц мишени от их координат на момент времени $t = 5$ мкс представлены на рис. 4. Для скорости $U = 500$ м/с на рис. 4, б также показаны профили меры поврежденности в зависимости от начального количества частиц в ячейке. Видно, что толщина откольного слоя не зависит от числа частиц в ячейке. Таким образом, по толщине откольного слоя расчеты дают одинаковые результаты.

Для скорости $U = 500$ м/с проведены расчеты с одной частицей в ячейке с вариацией счетной сетки: $h = 0,01, 0,005$ и $0,0025$ см. На рис. 5 приводятся зависимости поврежденности мишени от координат частиц на момент времени $t = 5$ мкс.

Видно, что для МДЧ наблюдается сходимость расчетной поврежденности к некоторому решению при уменьшении шага сетки. При этом при измельчении сетки улучшается монотонность решения.

Таблица 5

Константы модели Канеля для меди

ρ_0 , г/см ³	Y_0 , ГПА	G_0 , ГПа	K_4 , м·с/кг	P_k , ГПа	V_1 , 10^{-3} см ³ /г	V_2 , 10^{-3} см ³ /г	V_3 , 10^{-3} см ³ /г	V_4 , 10^{-3} см ³ /г
8,92	0,7	63,0	0,07	2,0	5,47	3,65	7,3	1,2

Соударение сферы с преградой. Постановка этой двумерной цилиндрической задачи взята из работы [21], в которой она исследовалась как экспериментально, так и численно. В работе [20] задача была исследована численно по методике ЭГАК.

Стальная сфера (ударник) радиусом $R = 3,175$ мм с начальной скоростью $U_x = 4,57$ км/с пробивает пластиковую преграду толщиной $L = 3,38$ мм (рис. 6).

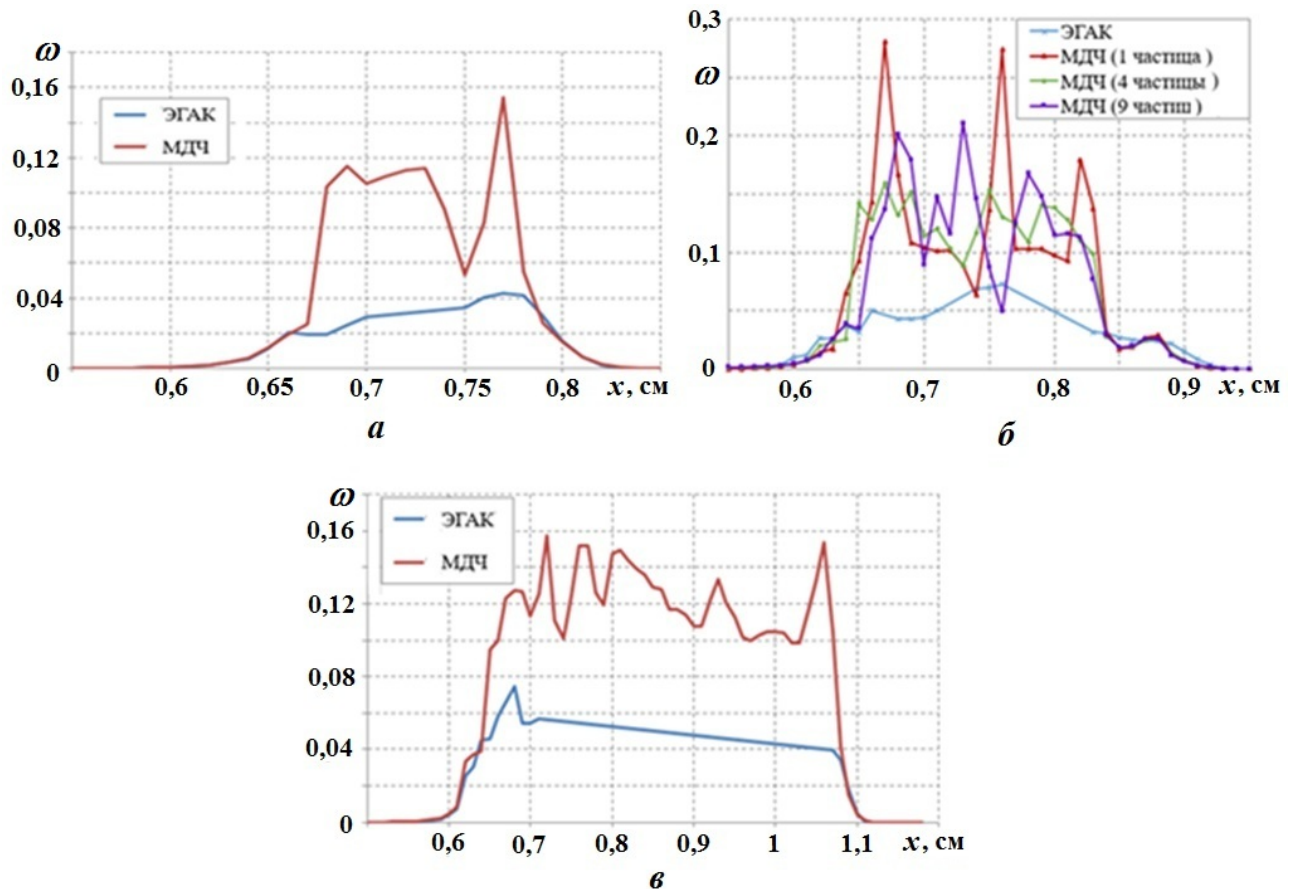


Рис. 4. Соударение медных пластин. Зависимости поврежденности мишени от координат частиц: $a - U = 300 \text{ м/с}$ (одна частица в ячейке); $\delta - U = 500 \text{ м/с}$ (разное количество частиц в ячейке); $\theta - U = 1000 \text{ м/с}$ (одна частица в ячейке)

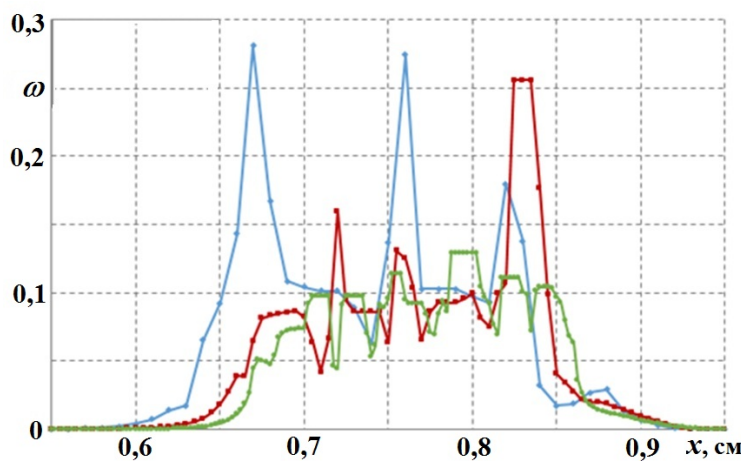


Рис. 5. Соударение медных пластин. Зависимости поврежденности мишени от координат частиц при $U = 500 \text{ м/с}$ для сетки с разными h (одна частица в ячейке): —●— $h = 0,01$; —●— $h = 0,005$; —●— $h = 0,0025$

Расчеты проводились на неподвижной квадратной сетке с $h = 0,013 \text{ см}$. Вещества описывались УРСом (8) с параметрами из табл. 6. Параметры для модели Канеля приведены в табл. 7. В расчете с использованием МДЧ задавалась одна частица в ячейке.

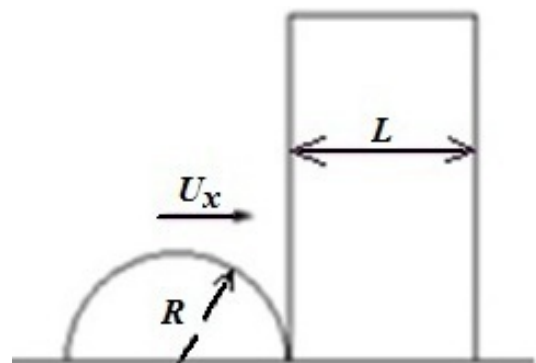


Рис. 6. Начальная геометрия задачи о соударении сферы с преградой

Таблица 6

Параметры УРСа и упругопластические свойства для преграды и ударника

Вещество	ρ_0 , г/см ³	c_0 , км/с	n	$\gamma - 1$	Y , ГПа	ν
Пластик	1,186	2,598	3	0,97	0,2	0,32
Сталь	7,850	4,6	3	2,17	2,0	0,29

Таблица 7

Параметры модели Канеля для преграды и ударника

Вещество	ρ_0 , г/см ³	K_4 , см·10 мкс/г	P_k , г/(см·10 мкс)	V_1 , см ³ /г	V_2 , см ³ /г	V_3 , см ³ /г	V_4 , см ³ /г
Пластик	1,186	500	0,15	0,0049	0,00032	0,000657	0,0085
Сталь	7,850	540	1,5	0,0092	0,00057	0,0016	0,001

В экспериментах исследовался спектральный состав по размерам фрагментов разрушенного ударника. Для получения аналогичной информации в расчетах (рис. 7) была использована модель Грэйди [20]. Масса и число осколков суммировались по размеру фрагментов на отрезке длиной 1 см, равномерно разбитом на 264 интервала длиной 0,0038 см. Размер осколков рассчитывался по формуле

$$s = \frac{1}{2} \left(\frac{\sqrt{180} K_C}{\rho_0 c_0 \operatorname{div} \mathbf{u}_\xi} \right)^{2/3}. \quad (9)$$

В формуле (9) вязкость разрушения K_C бралась равной 0,3 ГПа·см^{1/2} для модели мгновенного разрушения и 0,35 ГПа·см^{1/2} для модели Канеля.

В табл. 8 приводятся размеры осколков, имеющих максимальную массу $m(s)$, в сравнении с расчетными данными ЭГАК (осколки представляются в форме кубиков).

Из табл. 8 видно, что расчеты с использованием МДЧ несколько лучше согласуются с экспериментом по размеру осколков максимальной массы, чем без него.

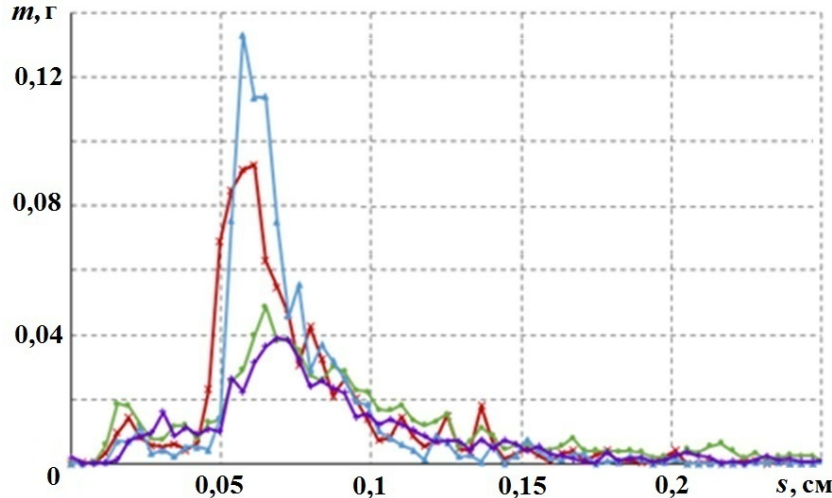


Рис. 7. Соударение сферы с преградой. Распределение массы осколков ударника по размерам: —★— ЭГАК, мгновенное разрушение; —●— МДЧ, мгновенное разрушение; —▲— ЭГАК, модель Канеля; —◆— МДЧ, модель Канеля

Соударение сферы с преградой. Размеры осколков (в см) максимальной массы

Эксперимент	Мгновенное разрушение		Модель Канеля	
	ЭГАК	МДЧ	ЭГАК	МДЧ
0,076	0,063	0,070	0,059	0,067

Заключение

В работе описаны основные алгоритмы монотонного МДЧ для моделирования двумерных упругопластических течений, реализованного в рамках лагранжево-эйлеровой методики ЭГАК. Метод сохраняет достоинства классического метода частиц (минимизация погрешности эйлеровых методов при решении уравнения адвекции) при обеспечении монотонности решения. На его основе реализованы две модели разрушения: модель Канеля и модель мгновенного разрушения и компактирования. Применимость метода проверена на двух одномерных и одной двумерной тестовых задачах.

Проведенное в работе исследование показало эффективность МДЧ при моделировании процессов разрушения и компактирования материалов в эйлеровых переменных.

Авторы выражают благодарность Ю. Е. Дудник и А. В. Городничеву за помощь в постановке тестовых задач.

Список литературы

1. *Hirt C. W., Nicols B. D.* Volume of Fluid (VOF) method for the dynamics of free boundaries // J. Comp. Phys. 1981. Vol. 39. P. 201–225.
2. *Бахрах С. М., Глаголева Ю. П., Самигулин М. С., Фролов В. Д., Яненко Н. Н., Янилкин Ю. В.* Расчет газодинамических течений на основе метода концентраций // Докл. АН СССР. 1981. Т. 257, № 3. С. 566–569.
Bakhraev S. M., Glagoleva Yu. P., Samigulin M. S., Frolov V. D. Yanenko N. N., Yanilkin Yu. V. Raschyet gazodinamicheskikh techeniy na osnove metoda kontsentratsiy // Dokl. AN SSSR. 1981. T. 257, № 3. S. 566–569.
3. *Харлоу Ф. Х.* Численные методы частиц в ячейках для задач газодинамики // Вычислительные методы в газодинамике. М.: Мир, 1967. С. 316–342.
Kharlou F. Kh. Chislennye metody chastits v yacheykakh dlya zadach gazodinamiki // Vychislitelnye metody v gazodinamike. M.: Mir, 1967. S. 316–342.
4. *Tskhakaya D., Matyash K., Schneider R., Taccogna F.* The Particle-In-Cell method // Contributions to Plasma Physics. 2007. Vol. 47(8–9). P. 563–594.
5. *Shalaby M., Broderick A. E., Chang P., Pfrommer C., Lamberts A., Puchwein E.* SHARP: A spatially higher-order, relativistic Particle-in-Cell code // Astrophysical J. 2017. Vol. 841(1). P. 52.
6. *Jiang C., Schroeder C., Selle A., Teran J., Stomakhin A.* The affine Particle-In-Cell method // ACM Trans. Graph. 2015. Vol. 34. P. 4.
7. *Богомолов С. В., Звенков Д. С.* Явный метод частиц, не сглаживающий газодинамические разрывы. Математическое моделирование. 2007. Т. 19:3. С. 74–86.
Bogomolov S. V., Zvenkov D. S. Yavnyy metod chastits, ne sglazhivayushchiy gazodinamicheskie razryvy. Matematicheskoe modelirovaniye. 2007. Т. 19:3. S. 74–86.
8. *Jiang C., Schroeder C., Teran J.* An angular momentum conserving affine Particle-In-Cell method // J. Comp. Phys. 2017. Vol. 338. P. 137–164.
9. *Fu C., Guo Q., Gast T., et al.* A polynomial Particle-In-Cell method // ACM Trans. Graph. 2017. Vol. 36. P. 222:1–222:12.

10. Grigoryev Yu. N., Vshivkov V. A., Fedoruk M. P. Numerical Particle-In-Cell methods. Theory and Applications. Utrecht, Boston, 2002.
11. Lapenta G., Brackbill J. U. Dynamic and selective control of the number of particles in kinetic plasma simulations // J. Comp. Phys. 1994. Vol. 115. P. 213–217.
12. Welch D. R., Genoni T. C., Clark R. E., Rose D. V. Adaptive particle management in a Particle-In-Cell code // Ibid. 2007. Vol. 227. P. 143–155.
13. Сапожников Г. А. Комбинированный метод потоков и частиц в ячейках для расчетов газодинамических течений // Вопросы разработки и эксплуатации пакетов прикладных программ. Новосибирск: ИТПМ СО АН СССР, 1981. С. 89–97.
Sapozhnikov G. A. Kombinirovannyy metod potokov i chastits v yacheykakh dlya raschyetov gazodinamicheskikh techeniy // Voprosy razrabotki i ekspluatatsii paketov prikladnykh programm. Novosibirsk: ITPM SO AN SSSR, 1981. S. 89–97.
14. Янилкин Ю. В., Шмелёв В. А., Колобянин В. Ю., Беляев С. П. Монотонный метод частиц для моделирования двумерных газодинамических течений // Вопросы атомной науки и техники. Сер. Математическое моделирование физических процессов. 2012. Вып. 3. С. 3–14.
Yanilkin Yu. V., Shemelyev V. A., Kolobyanin V. Yu., Belyaev S. P. Monotonnyy metod chastits dlya modelirovaniya dvumernykh gazodinamicheskikh techeniy // Voprosy atomnoy nauki i tekhniki. Ser. Matematicheskoe modelirovanie fizicheskikh protsessov. 2012. Vyp. 3. S. 3–14.
15. Yanilkin Y., Shmelev V., Kolobyanin V. A monotonic Method of Split Particles // Recent Advances in Numerical Simulations / Ed. F. Bulnes, P. Hessling. London: INTECH, 2021. P. 43–60.
16. Янилкин Ю. В., Шанин А. А., Ковалев Н. П. и др. Методика ЭГАК для расчетов двумерных течений многокомпонентной среды // Вопросы атомной науки и техники. Сер. Математическое моделирование физических процессов. 1993. Вып. 4. С. 69–75.
Yanilkin Yu. V., Shanin A. A., Kovalyev N. P. i dr. Metodika EGAK dlya raschyetov dvumernykh techeniy mnogokomponentnoy sredy // Voprosy atomnoy nauki i tekhniki. Ser. Matematicheskoe modelirovaniye fizicheskikh protsessov. 1993. Vyp. 4. S. 69–75.
17. Огородников В. А., Садовой А. А., Софронов В. Н., Козлова Т. А., Ерунов С. В., Михайлов С. В. Кинетическая модель пластического разрушения с учетом диссипативных процессов // Химическая физика. 2002. Т. 21, № 9. С. 104–109.
Ogorodnikov V. A., Sadovoy A. A., Sofronov V. N., Kozlova T. A., Erunov S. V., Mikhaylov S. V. Kineticheskaya model plasticheskogo razrusheniya s uchetyom dissipativnykh protsessov // Khimicheskaya fizika. 2002. T. 21, № 9. S. 104–109.
18. Канель Г. И., Сугак С. Г., Фортов В. Е. О моделях откольного разрушения // Проблемы прочности. 1983. № 8. С. 40–44.
Kanel G. I., Sugak S. G., Fortov V. E. O modelyah otkolnogo razrusheniya // Problemy prochnosti. 1983. № 8. S. 40–44.
19. Волков И. А. Численный анализ откольного разрушения медных пластин при ударном деформировании. Упругость // Прикладная механика и техническая физика. 1993. № 2. С. 19–24.
Volkov I. A. Chislenny analiz otkolnogo razrusheniya mednykh plastin pri udarnom deformirovani. Uprugost // Prikladnaya mekhanika i tekhnicheskaya fizika. 1993. № 2. S. 19–24.
20. Yanilkin Yu. V., Gorodnichev A. V., Simonov G. P., Ilkaev R. I. EGAK-EP method for calculations of fracture and fragmentation of materials // Proc. Workshop "New Models and Numerical Codes for Shock Wave Processes in Condensed Media". Oxford, 1997. P. 610–622.
21. Kipp M. E., Grady D. E., Swegle J. W. Experimental and Numerical Studies of High-Velocity Impact Fragmentation. SANDI 93-0773. Report. Sandia National Laboratories, 1993.